

USP14 governs CYP2E1 to promote nonalcoholic fatty liver disease through deubiquitination and stabilization of HSP90AA1

Dongqin Wei, Xin Tian, Longbo Zhu, Han Wang, Chao Sun

Fig. 1B

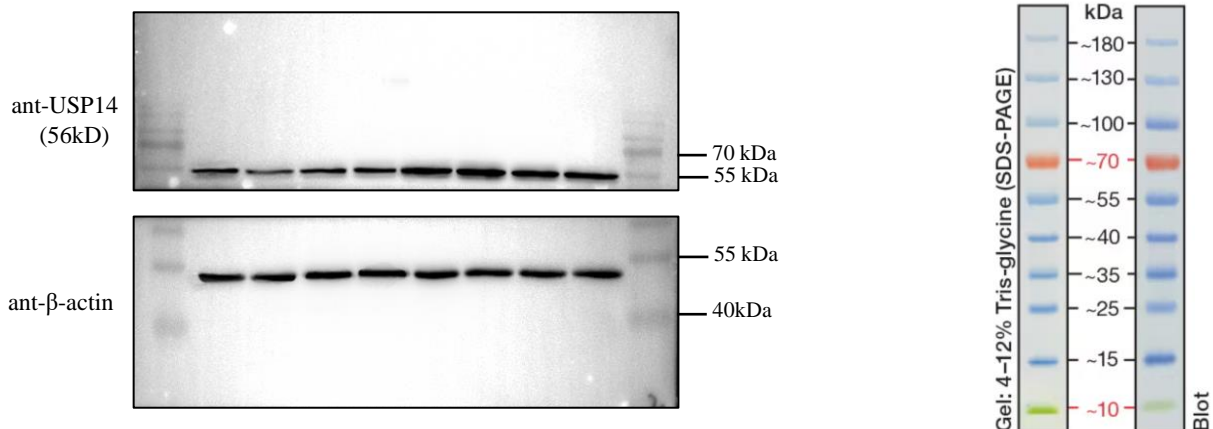


Fig. 1D

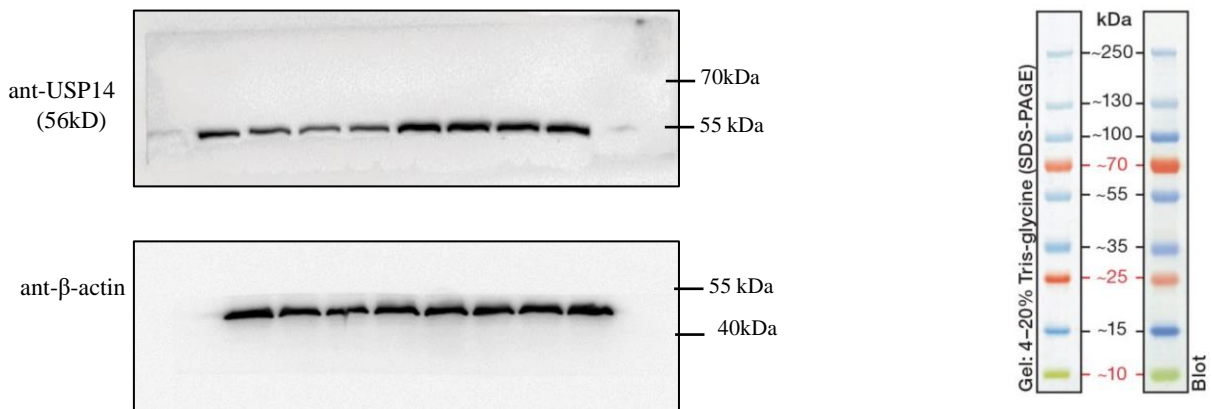


Fig. 1F

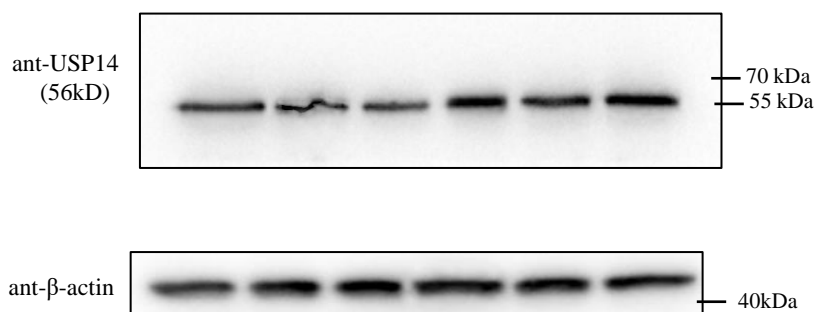


Fig. S2F

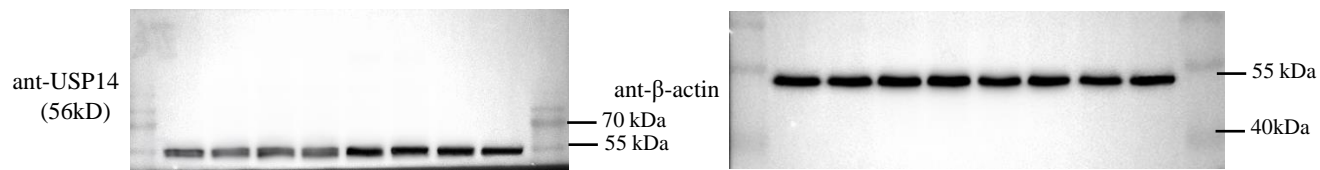


Fig. 2J

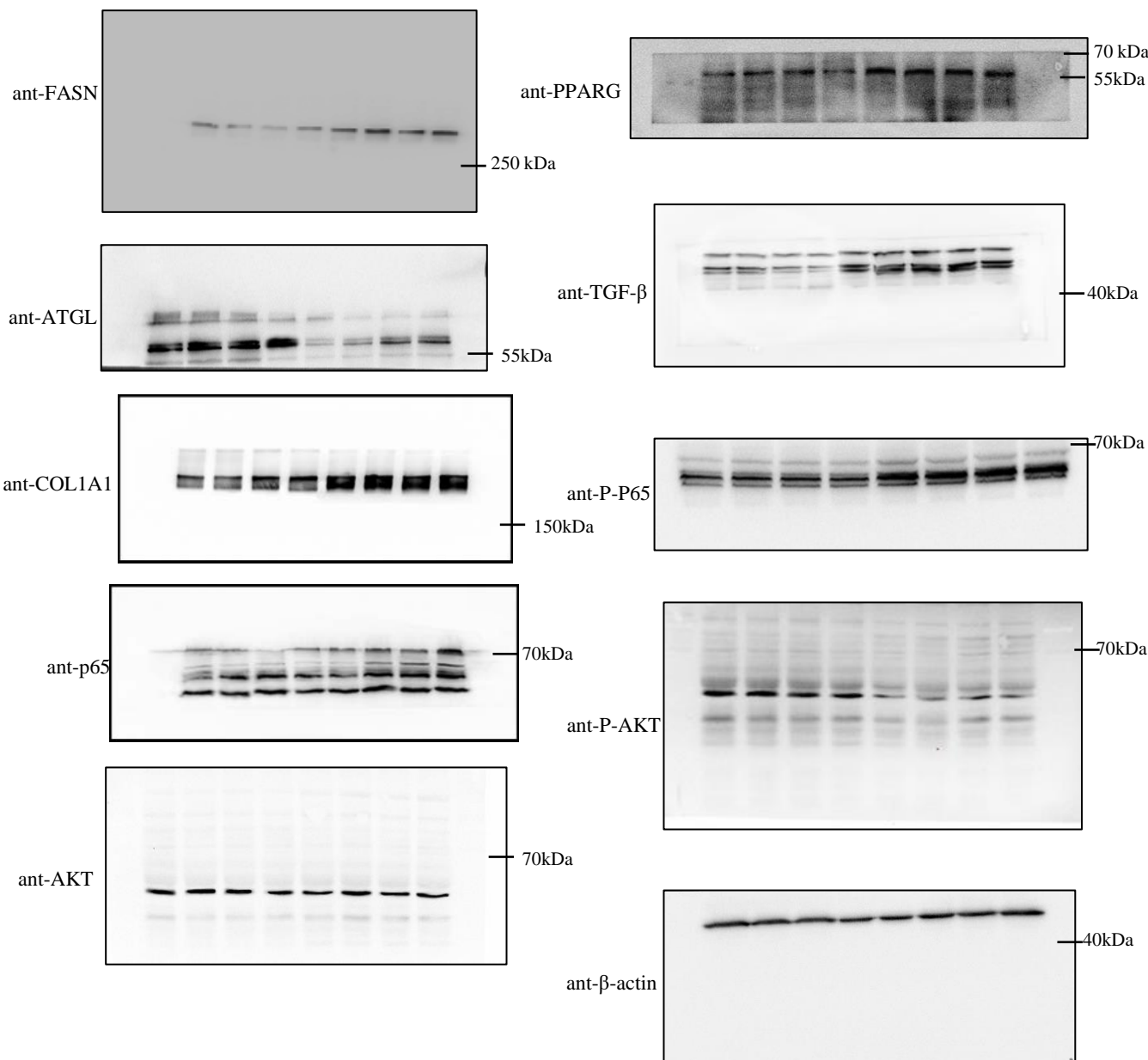


Fig. 3A

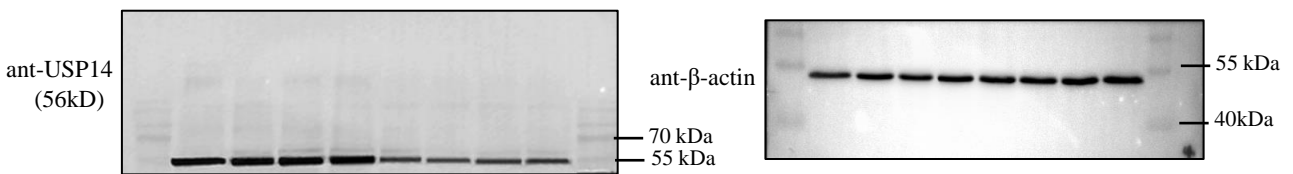


Fig. 3M

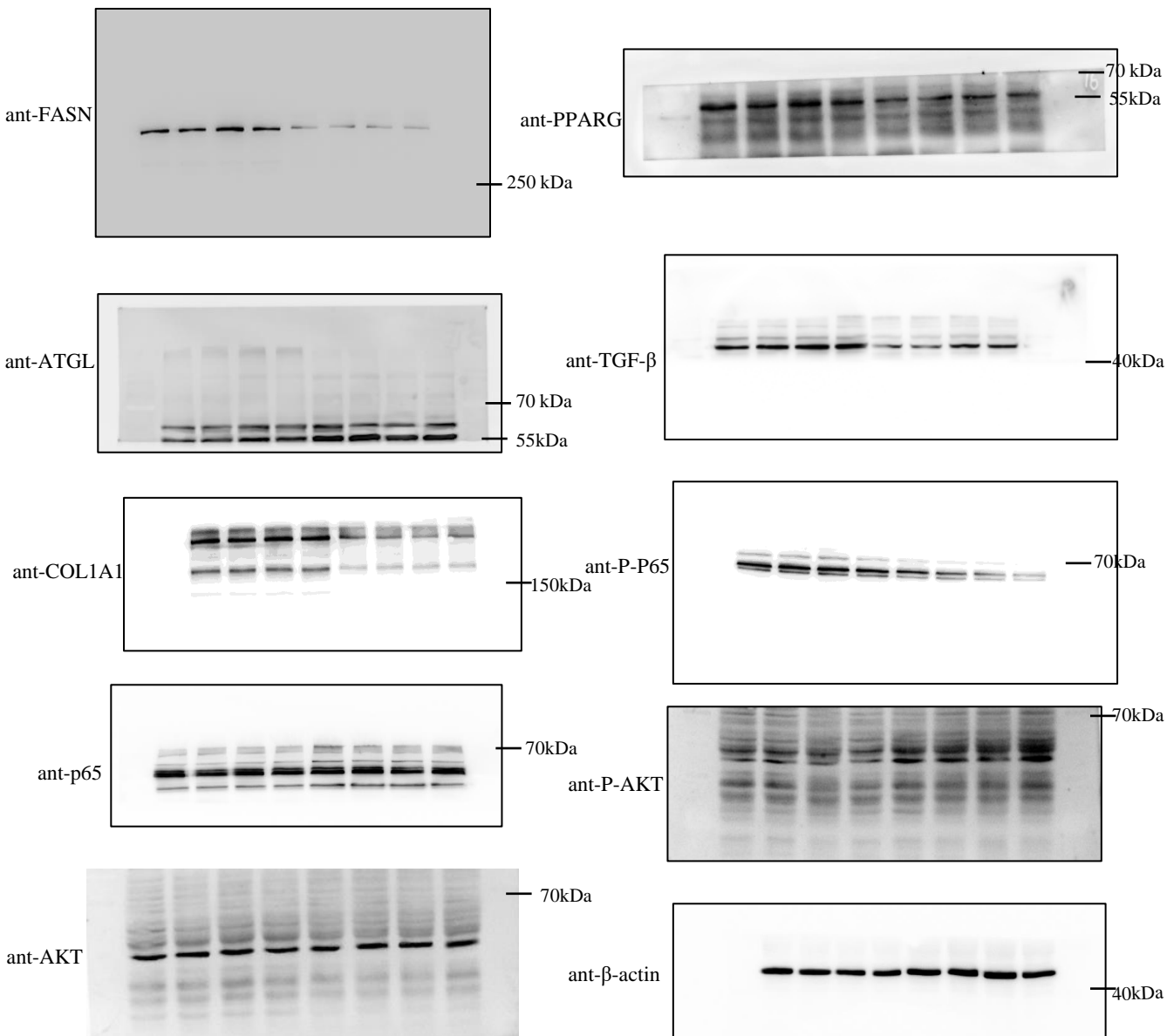


Fig. S3N

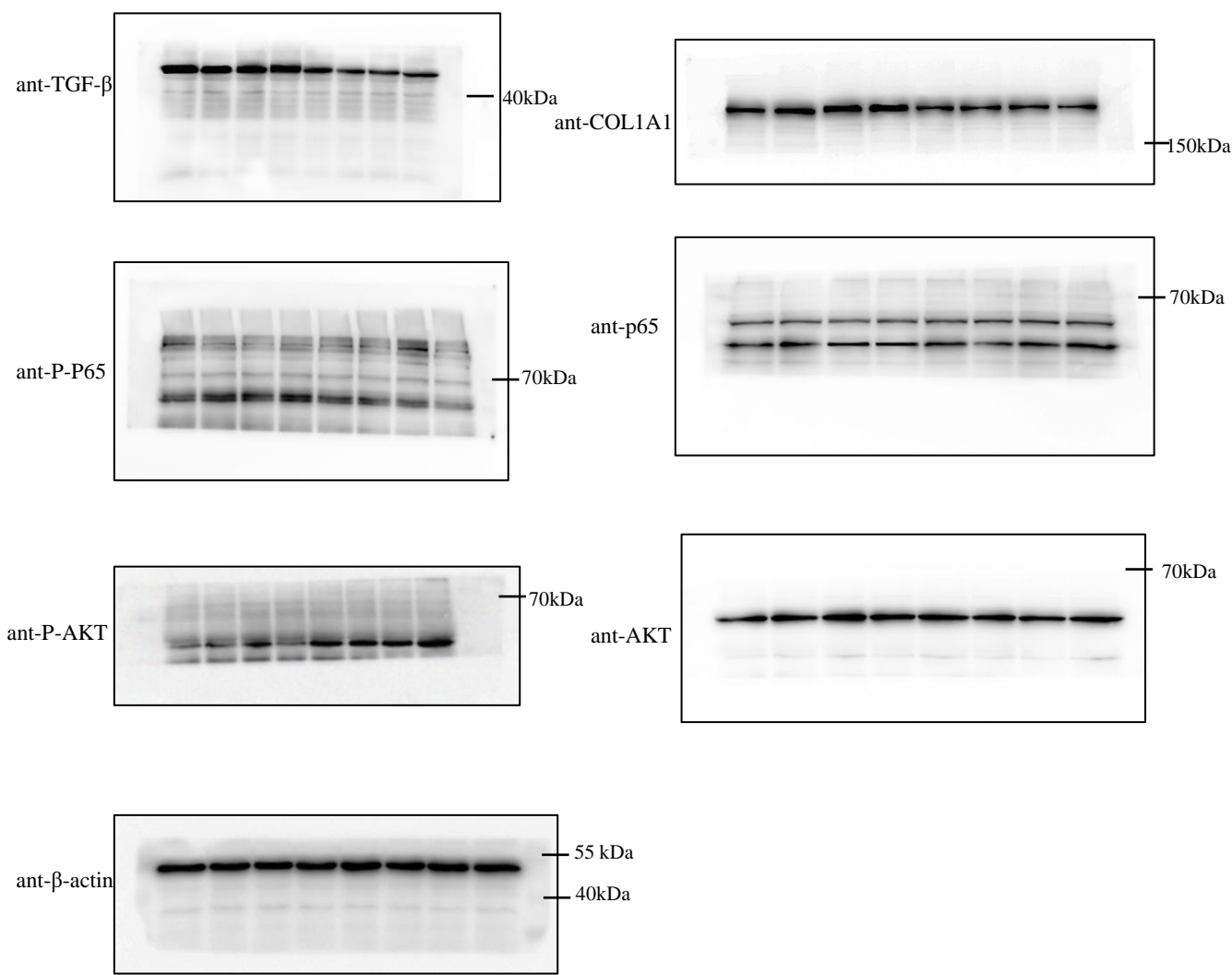


Fig. 4A

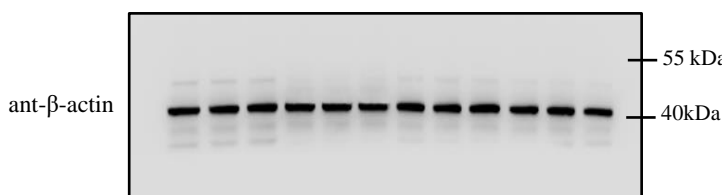
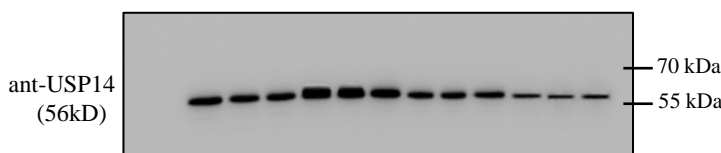


Fig. 4J

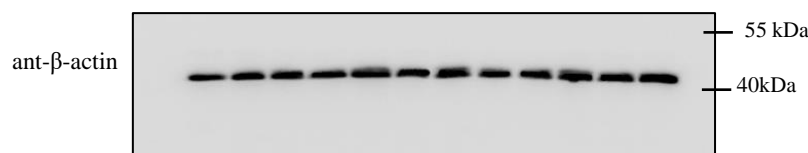
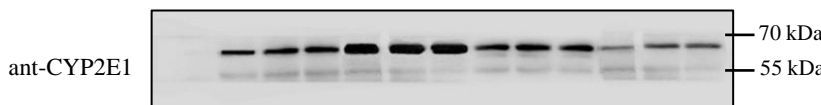


Fig. 4K

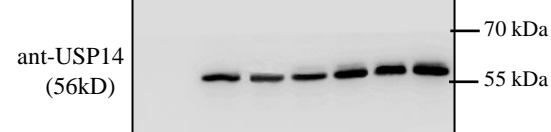
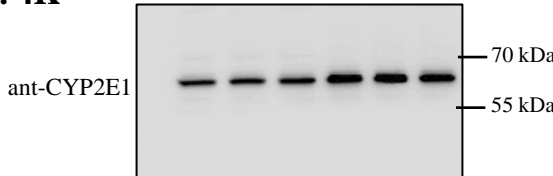


Fig. 4L

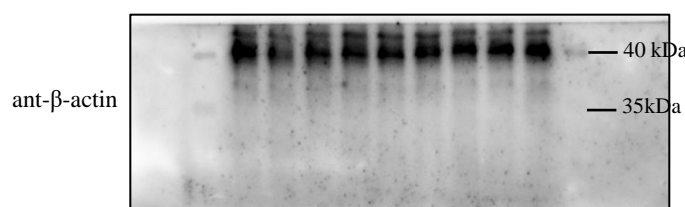
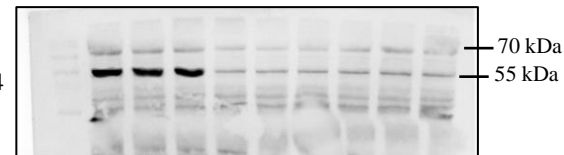
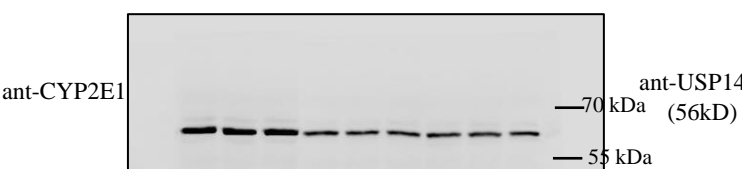


Fig. 4M

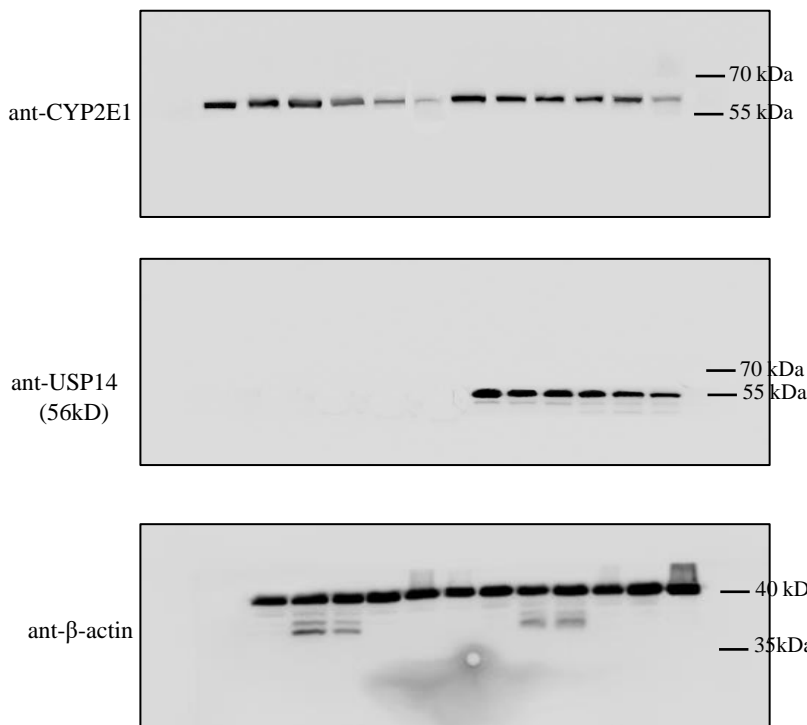


Fig. S5A

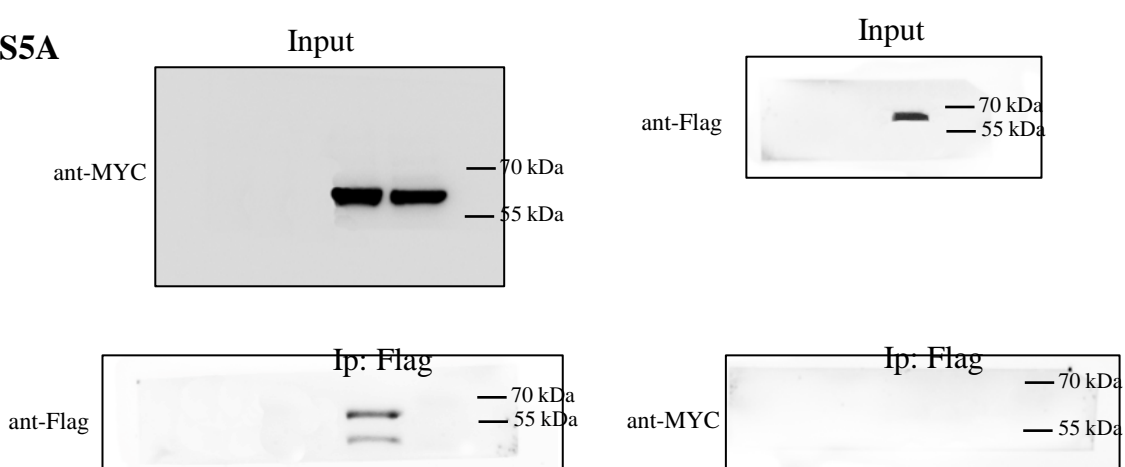


Fig. 5A

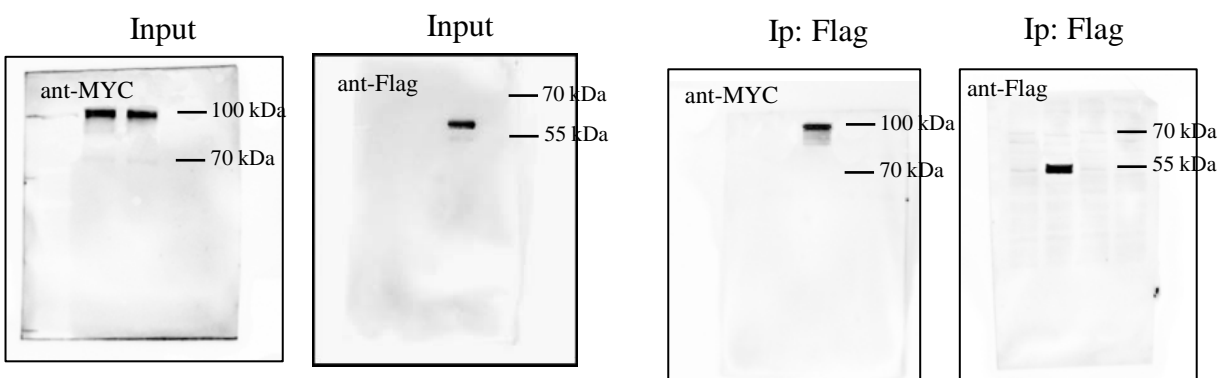


Fig. 5B

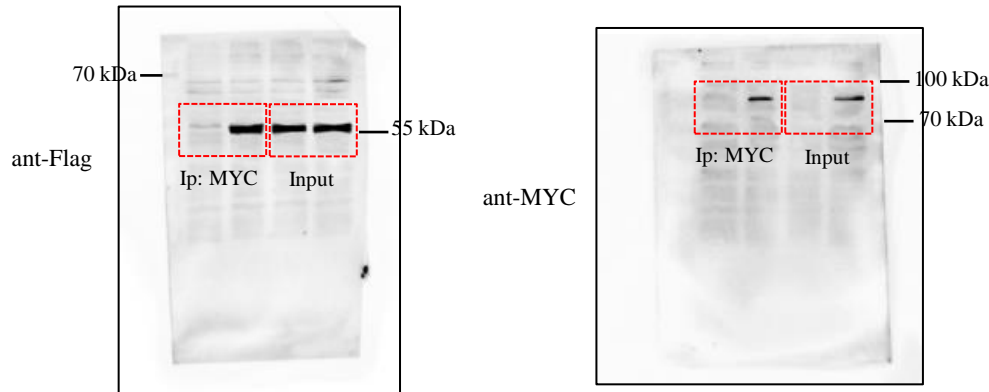


Fig. 5C

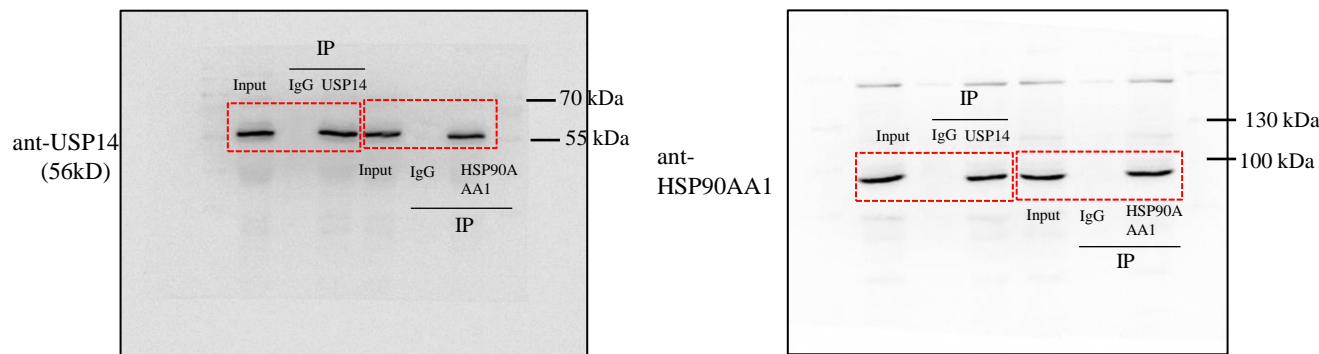


Fig. 5E

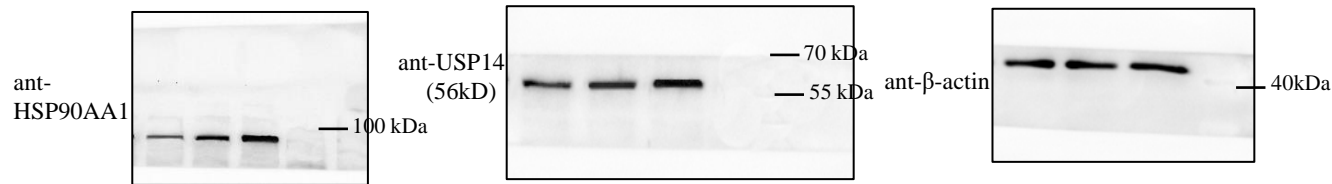


Fig. 5F

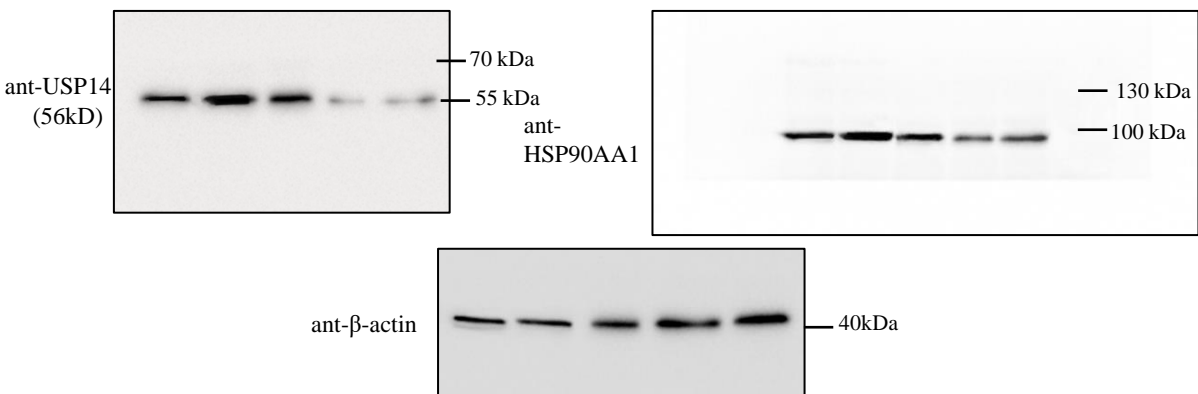


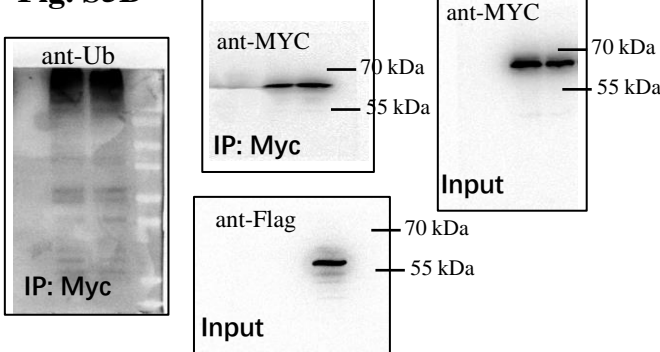
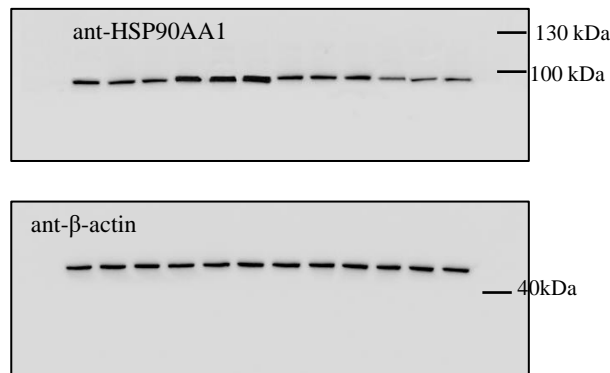
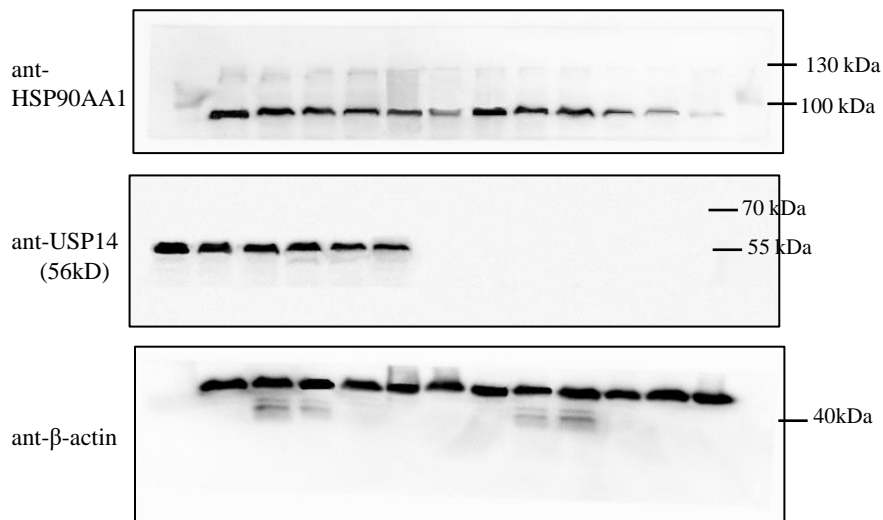
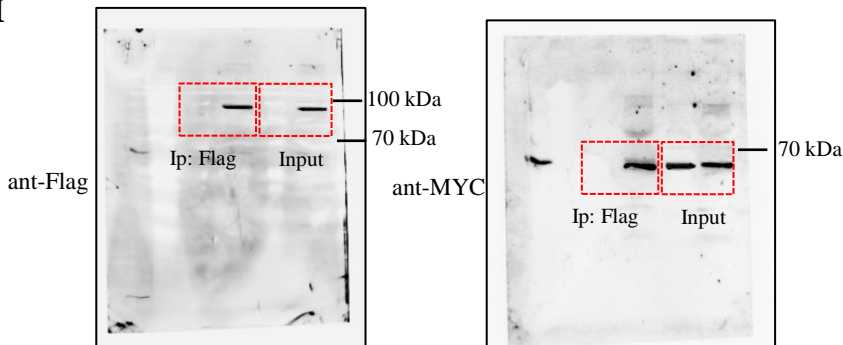
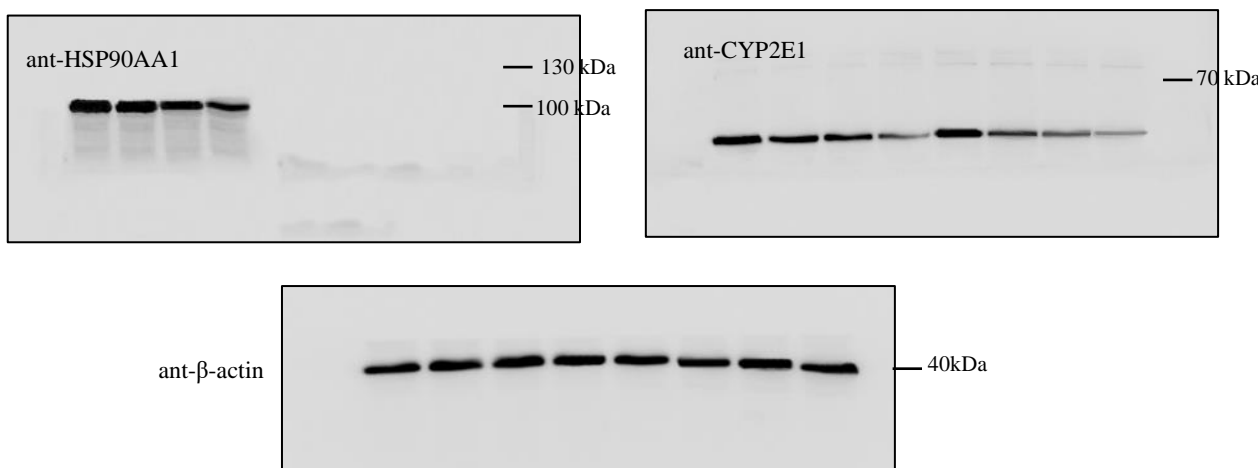
Fig. S5B**Fig. S5D****Fig. 5G****Fig. 5H****Fig. 5I**

Fig. 5J

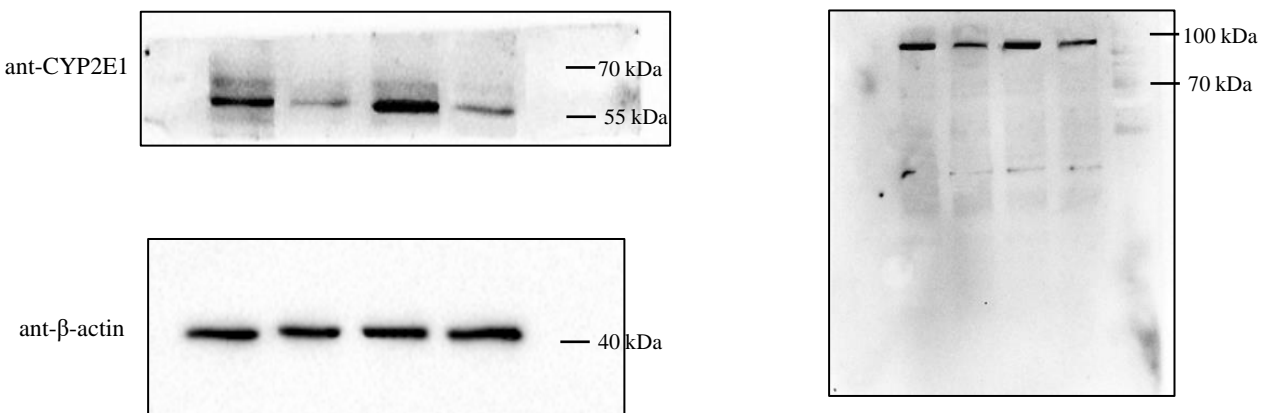


Fig. 6A

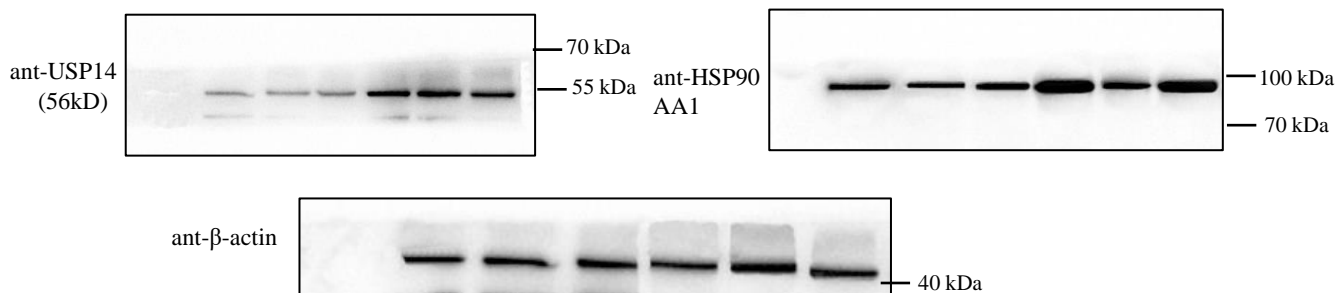


Fig. 6B

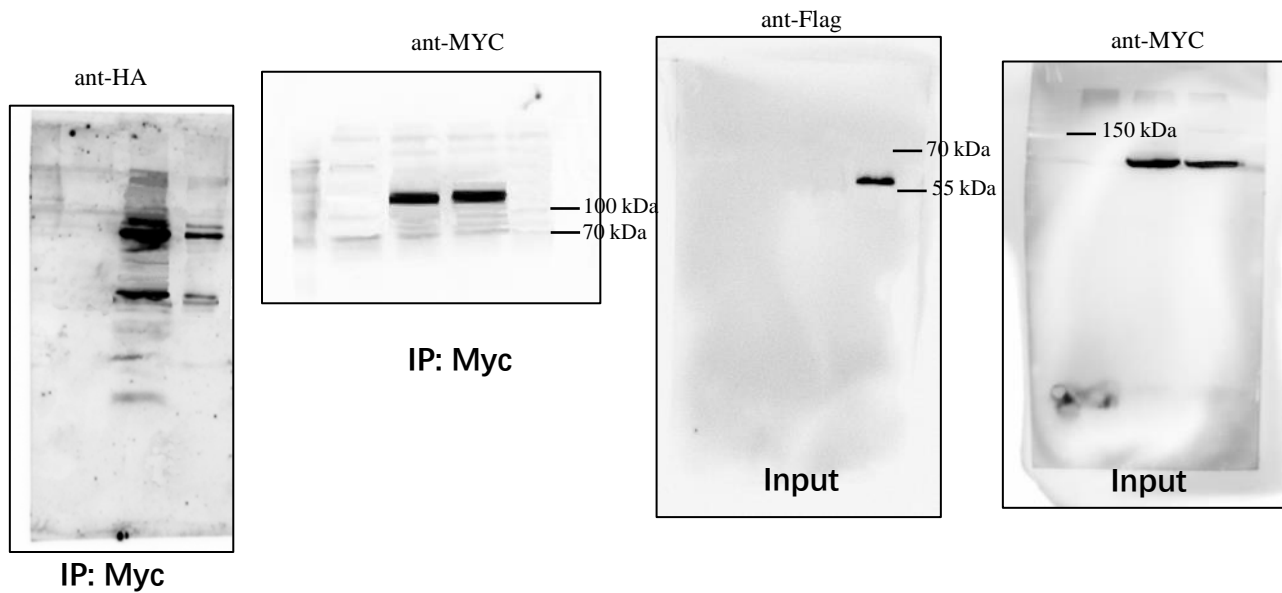


Fig. 6D

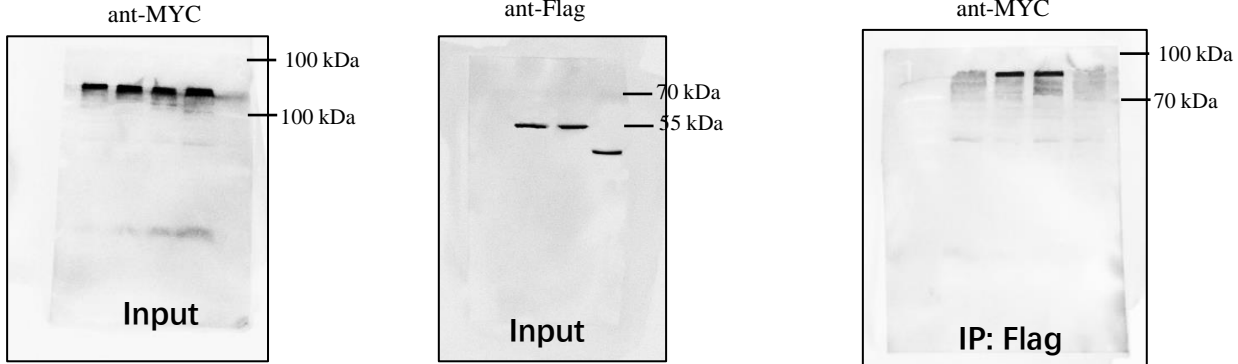


Fig. 6E

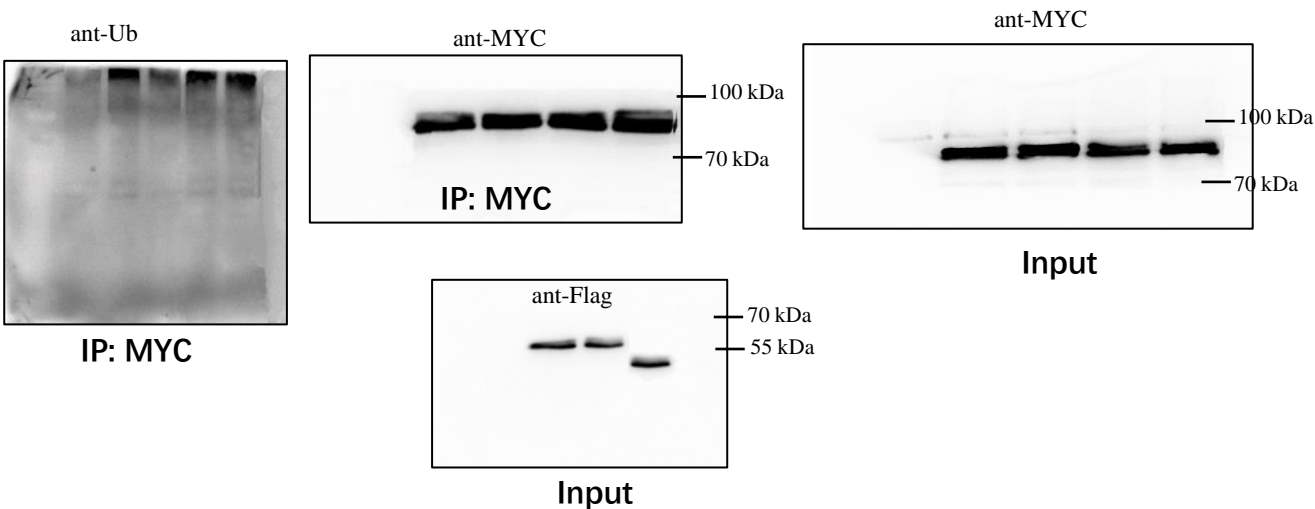


Fig. 6F

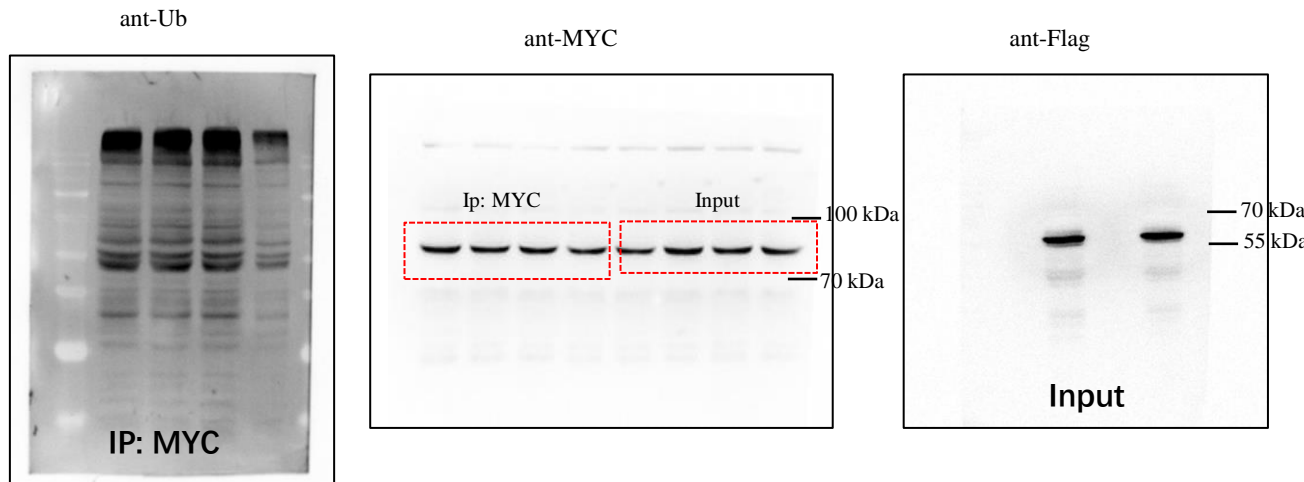


Fig. S6A

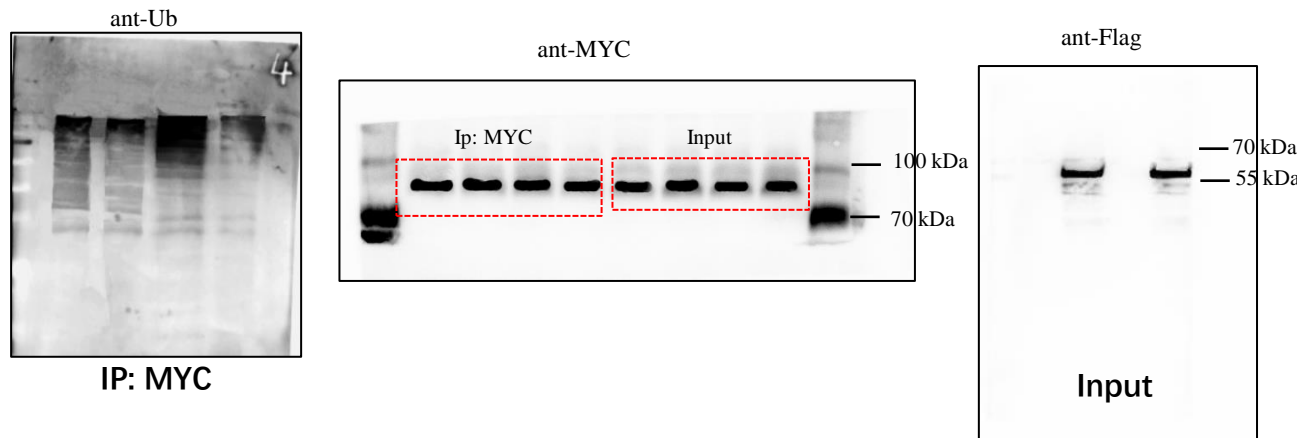


Fig. S6B

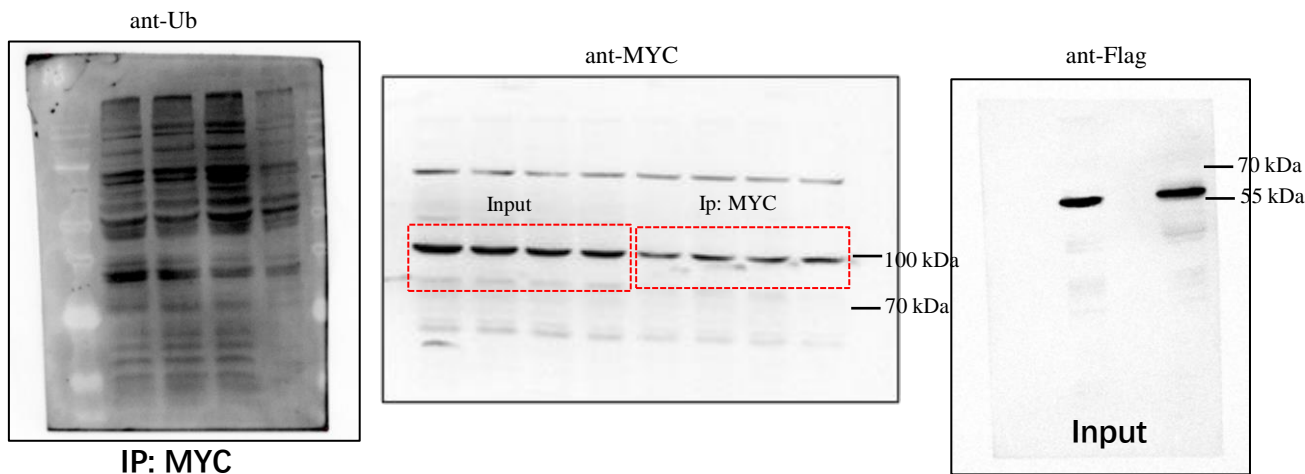


Fig. 6G

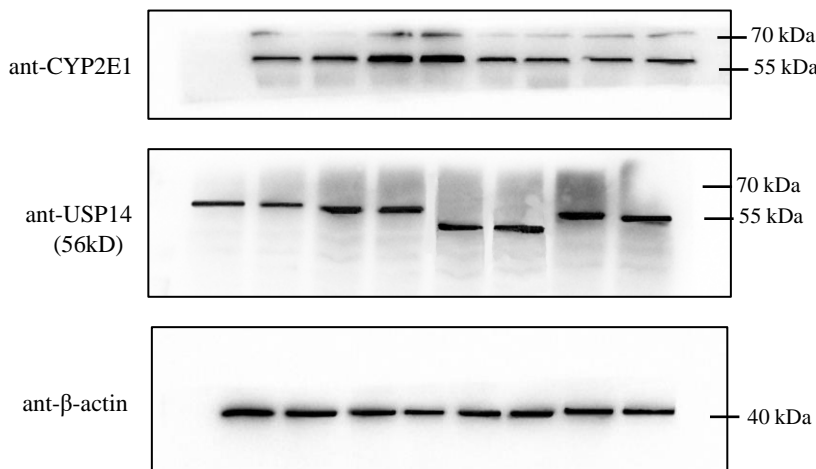


Fig. S7A

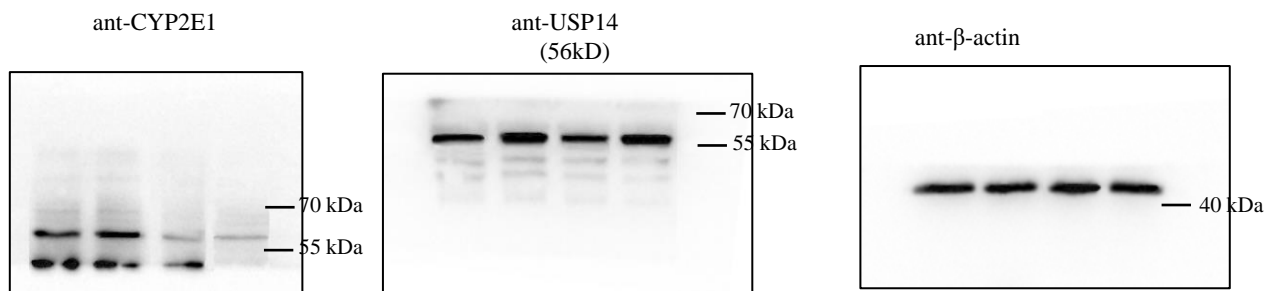


Fig. S7B

